

# بررسی وضعیت آلودگی ناشی از فلزات سنگین در خاک اطراف کارخانه پتروشیمی و پالایشگاه مجاور پناهگاه حیات وحش قمیشلو

لیلا دواشی<sup>۱\*</sup>، حمیدرضا عظیمزاده<sup>۲</sup>

۱. دانشجوی کارشناسی ارشد محیط زیست دانشکده منابع طبیعی و کویرشناسی، دانشگاه یزد

۲. دانشیار دانشکده منابع طبیعی و کویرشناسی- پژوهشکده مناطق خشک و بیابانی، دانشگاه یزد

(تاریخ دریافت: ۱۳۹۲/۱/۲۰ - تاریخ تصویب: ۱۳۹۳/۸/۱۵)

## چکیده

افزایش غلظت فلزات سنگین همچون سرب، کادمیوم، نیکل، کروم و روی زیان‌های قابل ملاحظه‌ای بر خاک و محیط زیست دارد. این عناصر برای انسان و حیات وحش نیز زیان‌بارند. منشأ برخی از این ترکیبات خطرناک کارخانه‌های پتروشیمی، پالایشگاه و نیروگاه‌هاست که سبب افزایش ترکیبات سرطان‌زا و نژندا به محیط زیست است. هدف از مطالعه حاضر بررسی آلودگی خاک به عناصر سنگین ناشی از پالایشگاه، نیروگاه و پتروشیمی اصفهان در مجاورت پناهگاه حیات وحش قمیشلو است. در این مطالعه، ۲۵ نمونه خاک از شعاع ۱/۵ کیلومتری اطراف صنایع برداشت شد. مقدار زمینه با حفر پروفیل خاک و نمونه‌برداری از لایه‌های عمقی مواد مادری خاک تخمین زده شد. فلزات سنگین با روش ایزو ۱۱۴۶۶ استخراج و سپس با دستگاه جذب اتمی شعله‌ای مدل Analytic jena- 350 اندازه‌گیری شد. شاخص‌های  $I_{geo}$  و  $PI_i$  محاسبه و مقایسه شد. مقدار شاخص‌ها از زیاد به کم ترتیب؛ کادمیوم، سرب، نیکل، روی و کروم به دست آمد. نتایج مقایسه شاخص‌ها نشان داد، در شرایط یکسان از نظر غلظت آلاینده، شاخص  $I_{geo}$ ، آلودگی را در کلاس‌های پایین‌تری نسبت به  $PI_i$  طبقه‌بندی می‌کند. علاوه بر آن نتایج نشان‌دهنده اختلاف دو شاخص  $mCd$  و  $IPI$  نیز در کلاس‌های کم آلودگی است. در سایر طبقات کلاس‌بندی آلودگی (متوسط و زیاد)، هر دو شاخص انطباق مناسبی دارد. مطابق نتایج پژوهش، حواشی صنایع پتروشیمی، پالایشگاه و نیروگاه، شاخص  $IPI$  آلودگی در دامنه متوسط تا زیاد برآورد شد در حالی است که با توجه به شاخص اصلاح شده درجه آلایندگی  $mCd$  کلاس کیفی آلودگی کم تا متوسط است.

**کلیدواژگان:** پالایشگاه، عناصر سنگین، قمیشلو،  $mCd$ ,  $I_{geo}$

مشتقات نفتی و فلزات سنگین. فلزات سنگین یا به عبارتی عناصر کمیاب در صنعت به طور ویژه‌ای به کار برده می‌شوند اما عناصری همانند کادمیوم، جیوه و سرب به طور خاصی نگران کننده هستند چون سلامت بشر را به خطر می‌اندازند و پژوهش‌های نشان می‌دهد بسیاری از مناطق نزدیک معادن و نقاط شهری (پرترافیک) مقادیر بالاتری از این فلزات را دارند. (Fontanetti *et al.*, 2011)

Skrbic & Mladenovic (2011) آلدگی خاک مناطق شمال صربستان، منطقه نووی و بخشی از بوسنی و هرزگوین را بررسی کردند. در این مقاله اشاره شده است که آلدگی خاک به نیکل و کروم حاصل فعالیت‌های انسانی و کشاورزی است و همچنین نشان دادند کاهش معناداری از محتوای عناصر بهویژه در مورد عناصری همچون سرب، نیکل و کروم با افزایش فاصله از لبه جاده بر حسب استانداردهای موجود نشان می‌دهد.

با استفاده از گیاهان بحث تخلیه فاضلاب‌ها بهویژه فاضلاب‌های صنعتی بهدلیل ماهیت سمیشان به محیط زیست اهمیت این امر را دوچندان می‌کند. فلزات سنگین همچون کادمیوم، سرب و وانادیوم از آلاینده‌های مهم صنایع نفت و گاز هستند، آتشگاهی و همکاران در این مقاله با هدف بررسی کارایی کاهش فلزات سنگینی همچون سرب و کادمیوم از فاضلاب خروج پالایشگاه با استفاده از گیاه نی به این نتیجه رسیدند که روش تالابی می‌تواند در کاهش این فلزات مؤثر باشد (Atashgahi *et al.*, 2011).

فاضلاب پالایشگاه نفت حاوی مواد مختلفی همچون نفت، گریس، فنل، سولفید، آمونیاک، مواد جامد معلق، سیانیدها، نیتروژن و فلزات سنگینی همچون کروم، آهن، نیکل، مس، مولیبدن، سلنیوم، وانادیوم و روی است. به طور کلی، ترکیبات نفت شامل پنج نوع ترکیب اصلی همچون آلکان‌ها، پارافین، سیکلولآلکان، ترکیبات سولفور و همچنین فلزات سنگین است (Wake., 2004).

صنایع پتروشیمی و نفت به منزله منابع انتشار دهنده آلاینده‌های آلی و غیرآلی و عناصری نظیر وانادیوم، آرسنیک و کروم است که به راحتی می‌توانند در هوا انتشار یابند. این در حالی است که

## ۱. مقدمه

عناصر سنگین به طور طبیعی در سنگ‌ها و خاک‌ها وجود دارند اما مقدار این عناصر در خاک‌ها بر اثر فعالیت‌های کشاورزی و صنعتی انسان در حال افزایش است. ارزیابی مقدار غلظت عناصر سنگین در سیستم خاک-آب-گیاه بهدلیل تأثیر این مواد بر زنجیره غذایی و سلامت گیاهان و جانوران اهمیت زیادی دارد. جعفرنژادی و همکاران با پژوهش خود ویژگی‌های مهم مؤثر خاک بر غلظت کل و قابل جذب کادمیوم و تجمع آن در بذر گندم در خاک‌های آهکی استان خوزستان را بررسی کردند و نتیجه مطالعه‌شان مشخص کرد که فراهمی کادمیوم قابل جذب خاک برای گیاه تحت تأثیر ویژگی‌های خاک و گونه گندم است (Jafarnejadi *et al.*, 2012).

سمی‌بودن بالای فلزات سنگین و افزایش غلظت آن‌ها در محیط زیست لزوم پایش زمانی و مکانی آن‌ها را ایجاد می‌کند خراسانی و همکاران در مقاله خود به مطالعه اثر آب آلدگی به فلزات سنگینی همچون کادمیوم، کروم، نیکل، سرب روی عضله ماهی شوریده به این نتیجه رسیدند به غیر از کادمیوم و نیکل مابقی عناصر کمتر از حد استاندارد who هستند (Khorasani *et al.*, 2013).

افزایش غلظت فلزات سنگین منجر به اثرات منفی بر سلامتی همانند بیماری‌های سیستم عصبی، تغییر شکل سلول‌های خونی و کاهش بهره هوشی می‌شود، بعضی فلزات نظری سرب، آرسنیک، جیوه و کادمیوم در غلظت‌های خیلی کم سمی هستند و آلدگی ایجاد می‌کنند به طوری که عامل ایجاد بیماری‌هایی مانند سلطان می‌شود و کودکان نسبت به نوجوانان و بزرگسالان بیشتر در معرض آسیب‌اند (khairy *et al.*, 2010).

آلدگی خاک از اواسط دهه ۱۹۸۰ تبدیل به یک مشکل جهانی گسترده شده است. گروهی از منابع آلاینده خاک مربوط به اکتشافات نفت، تولید، ذخیره‌سازی، حمل و نقل، توزیع و دفع نهایی زایدات این ترکیبات است. این صنایع می‌توانند برای محیط زیست در صورتی که آلاینده باشند ایجاد خطر کند (yeung *et al.*, 1997).

دو عاملی که خاک را آلدگی می‌کند عبارت است از

<sup>۵</sup> را به ترتیب برای عناصر کادمیوم،  $PI_i$  و  $PI_{geo}$ ، سرب؛  $I_{geo}$  و  $I_d$ ، نیکل؛  $C_d$  و  $PCB's$  و  $PAH's$  همچنین روی؛  $mCd$  و  $mI$  به دست آوردند.

برای ارزیابی غلظت سرب، روی و نیکل در غبار خیابان شهر بائوجی چین  $Lu et al.$  (2008) شاخص‌های  $PI_i$  و  $I_{geo}$  را به ترتیب برای سرب؛  $I_{geo}$  و  $I_d$ ، روی؛  $mCd$  و  $mI$  و  $C_d$  محاسبه کردند و دریافتند بیشترین سرب از نواحی صنعتی آهن و فولاد، کک و سیمان و کمترین این عنصر را در مناطق مسکونی می‌توان یافت و در کل منابعی که سرب از آن ناشی می‌شود در فعالیت‌های صنعتی و خودروها متتمرکز است.

طی بررسی آلاینده‌گی فلزات سنگین در رسوبات رودخانه شهری در چین  $Mei et al.$ , (2011) شاخص انباست زمین یا  $I_{geo}$  را برای عناصری همچون روی و سرب  $1/6$  و  $0/44$  به دست آوردند و دریافتند که فلزات سنگین خطرهای محیط زیستی ویژه‌ای را ایجاد می‌کند که ارزیابی اثرات آلودگی را الزامی می‌کند.

برای بررسی سطح آلودگی خاک شاخص‌های مختلفی از قبیل  $I_{geo}$ ,  $PI_i$ , شاخص تجمعی آلودگی ( $IPI$ )<sup>۶</sup> و درجه آلودگی ( $mCd$ )<sup>۷</sup> محاسبه می‌شود. با توجه به اینکه اطراف منطقه پالایشگاه، بر اثر رفت و آمد و حمل و نقل مواد نفتی پتانسیل آلودگی به فلزات سنگین را دارد لذا، مقاله حاضر سعی در بررسی آلاینده‌گی فلزات سنگین موجود در منطقه و اندازه‌گیری سه شاخص فوق الذکر کرده است. هدف از مقاله حاضر بررسی تغییرات عناصر سنگین نظری سرب، کادمیوم، کروم، نیکل و روی در محدوده اطراف کارخانه پتروشیمی و پالایشگاه اصفهان در خاک اطراف است. در این پژوهش به شاخص‌های انباست زمینی و تجمعی آلودگی نیز محاسبه و بحث شده است.

## ۲. مواد و روش‌ها

### ۱.۰. منطقه مطالعه شده

در فاصله پنج کیلومتری ضلع شمال غربی شهر

مقدار معنادار آلاینده‌های آلی نظری VOC's<sup>۸</sup>, هیدروکربن‌های حلقوی (PAH's)<sup>۹</sup> و فلزات سنگین در مناطق نفتی می‌تواند محیط زیست را آلوده کند (Nadal *et al.*, 2006).

انتشار گاز و پخش مواد رايد جامد از صنایع به محیط یکی از نگرانی‌های اصلی زیستمحیطی است. احتراق سوخت‌های فسیلی و زغال‌سنگ برای تولید الکتریسته در نیروگاه‌های حرارتی و فرایندهای فراوری مواد نفتی ترکیبات پیچیده آلاینده را در محیط پراکنده می‌کند. در اتمسفر حتی زمانی که ابزارهای کنترل آلودگی به کار گرفته می‌شود در بین عناصر و آلاینده‌های تولیدی از صنایع نفت، آرسنیک، کروم، سرب، وانادیوم و روی وجود دارد. این عناصر در هوا انتشار می‌یابد و مدت‌های طولانی در خاک باقی می‌ماند (Alonso *et al.*, 2011).

این مهم به خوبی شناخته شده است که تعداد زیادی از صنایع پتروشیمی و کارخانه‌های پالایش نفت مواد سمی از جمله عناصر سنگین را در محیط منتشر می‌کند. علاوه بر آن ترکیباتی همانند هیدروکربن‌ها، پلی‌آرماتیک‌ها، ترکیبات جهش‌زا و سلطان‌زا نیز به شکل گاز به اتمسفر راه می‌یابد. فاضلاب‌ها و پسماندهای پتروشیمی همچنین مواد آلاینده را به محیط می‌افزاید. این مواد علاوه بر اتمسفر خاک را هم آلوده می‌کند. عناصری نظری کادمیوم، جیوه، سرب، نیکل، آرسنیک، وانادیوم و روی در این مواد وجود دارد، که این مواد در ایجاد بیماری‌هایی همچون سلطان‌ریه نقش بسزایی دارد. استنشاق دود حاصل از هر کدام از این فلزات برای سلامت حیوانات و انسان‌ها مضر است (Nadal *et al.*, 2003).

Faiz و همکاران (۲۰۰۹) به این نتیجه رسیدند با وجودی که استفاده از سرب در فرآورده‌های نفتی از جمله بنزین از سال ۲۰۰۵ ممنوع شد، لیکن بالاترین غلظت سرب در مکان‌هایی با بار ترافیکی بالاست و به منظور تعیین آلودگی غبار جاده در پاکستان شاخص‌های انباست زمینی ( $I_{geo}$ )<sup>۱۰</sup> و آلودگی

1. Volatile Organic Compounds
2. Polycyclic aromatic hydrocarbons
3. Polychlorinated Biphenyls
4. Geo-accumulation Index

5. Pollution Index

6. Integrating Pollution Index

7. Degree of Contamination ( $C_d$ )

احداث شده است. این نیروگاه هشت واحد بخاری ۲۰۰ مگاواتی مجموعاً به ظرفیت ۱۶۰۰ مگاوات در ساعت دارد. نیروگاه با ۱۵۰ هکتار فضای سبز، اولین واحد در سال ۱۳۶۳ و واحدهای ۲ و ۳ در سال ۱۳۶۴ بهره‌برداری شد. واحد چهارم نیز در سال ۱۳۶۸ با همت و تلاش متخصصان داخلی به شبکه برق کشور پیوست. آنچه این مجموعه نفتی را کامل می‌کند، وجود صنعت پتروشیمی در کنار پالایشگاه و نیروگاه است. کل این مجموعه صنعتی در ۱۵ کیلومتری غرب پناهگاه حیات وحش قمیشلو قرار گرفته است. شکل ۱ موقعیت منطقه را نشان می‌دهد.

اصفهان و در زمینی به وسعت بیش از چهار کیلومترمربع شرکت پالایش نفت اصفهان جایگاه ویژه‌ای را در میان صنایع منطقه به خود اختصاص داده است. در بهمن‌ماه سال ۱۳۵۸ پالایشگاه اصفهان با ظرفیت ۲۰۰ هزار بشکه در روز راهاندازی شد. نفت خام مورد نیاز شرکت پالایش نفت اصفهان از حوزه نفتی مارون، در فاصله ۷۰ کیلومتری اهواز، از طریق هفت ایستگاه تقویت فشار و با خط لوله‌ای به طول ۴۳۰ کیلومتر تأمین می‌شود.

نیروگاه شهید منتظری در شمال اصفهان جنب پالایشگاه در زمینی به وسعت ۲/۲ کیلومترمربع



شکل ۱. موقعیت پالایشگاه و مجموعه صنایع نفتی در کنار پناهگاه حیات وحش قمیشلو

سرپوش‌دار حرارت داده شد. نمونه با استفاده از کاغذ صاف و اتمن ۴۲ صاف و با آب مقطر به حجم ۱۰۰ میلی‌لیتر رسانده شد. غلظت فلزات سنگین نمونه‌ها با دستگاه جذب اتمی شعله‌ای مدل Analytic jena-SPSS v.16 اندازه‌گیری شد. داده‌ها با نرم‌افزار SPSS v.16 آندازه‌گیری شد. به منظور تعیین تعداد کافی نمونه، تجزیه و تحلیل شد. به منظور تعیین تعداد کافی نمونه، از فرمول کربز (۱۹۹۹) (معادله ۱) استفاده شد که در آن  $t^2$  مقدار  $t$  (در سطح معناداری ۵درصد، معادل  $CV = 1/96$  با در نظر گرفتن درجه آزادی بی‌نهایت)،  $N_{sample}$  ضریب تغییرات،  $d$  نسبت صحت مورد نیاز و تعداد نمونه مورد نیاز است (نقل از بی‌همتا و زارع چاهوکی، ۱۳۸۹).

## ۲.۰.۲ روش کار

پس از بررسی نقشه‌ها و تصاویر ماهواره‌ای، ابتدا ۲۵ نمونه خاک از شعاع دو کیلومتری اطراف مجموعه صنعتی (پالایشگاه، نیروگاه و پتروشیمی) جمع‌آوری شد. بخش شرق این محدوده با اراضی پناهگاه حیات وحش قمیشلو هم‌جوار است. در مرحله نمونه‌برداری از خاک کلیه نکات کنترل کیفی نمونه‌برداری رعایت شد. سپس نمونه‌ها در آزمایشگاه براساس استاندارد ایزو ۱۱۴۶۶ آماده‌سازی شد. بدین صورت که ابتدا سه گرم نمونه خاک از الک ۲۵۰ میکرون عبور داده شد و در ۲۱ میلی‌لیتر اسید کلریدریک و بعد ۷ میلی‌لیتر اسید نیتریک هضم شد. پس از ۱۶ ساعت نگهداری در دمای اتاق، به مدت دو ساعت ملایم در دستگاه هضم

جمعی تغییرات آلودگی تمام آلاینده‌های اندازه‌گیری شده از دو شاخص  $mC_d$  و  $IPI$  (درجه آلودگی اصلاح شده) هم استفاده شد.

$IPI$  درواقع میانگین هندسی شاخص  $PI_i$  است. محاسبه شاخص  $IPI$  با محاسبه میانگین هندسی  $PI_i$  پنج فلز سنگین در هر نقطه انجام شد. Hakanson (1980) شاخص دیگر آلودگی را با نام درجه آلودگی ارائه کرد که در سال ۲۰۰۵، Ibrahim آن را به صورت  $mC_d$  ارائه کرد.

$$C_d = \sum_{i=1}^n PI_i \quad (5)$$

$$mC_d = \frac{\sum_{i=1}^n PI_i}{n} \quad (6)$$

که در آن  $C_d$  حاصل جمع شاخص انواع آلاینده‌ها و  $mC_d$  میانگین حسابی شاخص آلودگی  $PI_i$  است. غلظت زمینه ( $B_i$ ) هر یک از آلاینده‌ها با استفاده حفر پروفیل خاک و بررسی تغییرات غلظت هر عنصر تا عمق خاک انجام شد. در جدول ۱ محدوده کلاس‌های طبقه‌بندی کیفی آلودگی برای شاخص‌های بررسی شده ارائه شده است.

$$N_{sample} = \frac{t_a CV}{d} \quad (1)$$

نرمال بودن توزیع آماری داده‌ها به روش کلموگرف اسمیرنوف آزموده شد (بی‌همتا و زارع چاهوکی، ۱۳۸۹). برای بررسی وضعیت آلودگی از شاخص انباشت زمینی ( $I_{geo}$ )، شاخص آلودگی ( $PI_i$ ) و شاخص تجمعی آلودگی ( $IPI$ ) که توسط Muller در سال ۱۹۷۹ ارائه شد، استفاده شد.

$$I_{geo} = \log_r \left( \frac{C_i}{1.5 B_i} \right) \quad (2)$$

$$PI_i = \frac{C_i}{B_i} \quad (3)$$

$$IPI = \left( \prod_{i=1}^n PI_i \right)^{\frac{1}{n}} \quad (4)$$

که در آن،  $C_i$ ، غلظت آلاینده  $i$ -ام و  $B_i$  غلظت زمینه ناشی از ژنز سنگ مادری آلاینده<sup>۱</sup>، و در فرمول ۴ شاخص آلودگی مربوط به آلاینده  $i$ -ام و  $n$  تعداد آلاینده‌ها (در این پژوهش پنج عنصر سنگین سرب، کادمیوم، نیکل، کروم و روی) است. به منظور تعیین

جدول ۱. طبقه‌بندی کیفی شاخص تجمع زمینی و شاخص آلودگی

کلاس آلودگی	طبقه کیفی آلودگی	IPI	شاخص آلودگی	طبقه کیفی آلودگی	شاخص تجمع زمینی ( $I_{geo}$ )	درجه آلودگی اصلاح شده ( $mC_d$ )
۱	کم	$IPI \leq 1$	غیرآلود	غیرآلود	کمتر از صفر	$mCd < 1/5$
۲	متوسط	$1 < IPI \leq 2$	غیرآلود تا متوسط	غیرآلود	$0-1$	$1/5 \leq mCd < 2$
۳	زیاد	$IPI \geq 2$	متوسط	متوسط تا زیاد	$1-2$	$2 \leq mCd < 4$
کلاس آلودگی	طبقه کیفی آلودگی		$PI \leq 1$	زیاد	$2-3$	$4 \leq mCd < 8$
۱	کم	$1 < PI \leq 3$	زیاد تا خیلی زیاد	زیاد	$3-4$	$8 \leq mCd < 16$
۲	متوسط	$PI > 3$	خیلی زیاد	زیاد تا خیلی زیاد	$4-5$	$16 \leq mCd < 32$
۳	زیاد			خیلی زیاد	بیشتر از ۵	$mCd > 32$

کادمیوم (۰/۶۱)، کروم (۰/۳۳)، کروم (۰/۹۳/۹۴)، نیکل (۰/۹۳/۹۴)، روی (۰/۳۹/۷)، روی (۰/۱۵/۱۳)، میلی گرم بر کیلوگرم. غلظت عناصر در جدول ۲ مشخص شده است. آمار توصیفی عناصر که در جدول ۳ بیان شده است نتایج نشان می‌دهد، بیشترین دامنه تغییرات مربوط به روی و کمترین آن متعلق به کادمیوم است.

### ۳. نتایج

غلظت عناصر نقاط اندازه‌گیری شده به شرح زیر است: غلظت فلزات سنگین در ۲۵ نمونه خاک اطراف پالایشگاه اندازه‌گیری شد. مقدار کمترین و بیشترین عناصر به ترتیب شرح زیر است: سرب (۰/۶۶/۴۳)،

روی و کادمیوم به ترتیب ۵، ۱۰، ۱۵، ۱۵ و ۱۵ درصد در نظر گرفته شده است.

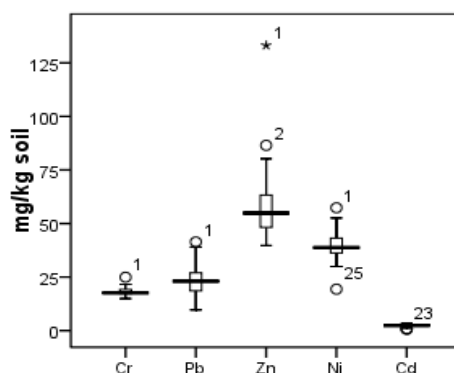
نتایج تغییرات هر یک از عناصر سنگین در نیم رخ خاک مقدار زمینه عنصر مورد نظر را در بستر و زمینه محدوده مطالعه شده در شکل ۳ نشان داده شده است. بدین ترتیب مقدار زمینه برای کروم، سرب، روی، نیکل و کادمیوم به ترتیب ۲۸/۱۷، ۵۰/۱۰، ۴۰/۳۹، ۰/۲۱ و ۰/۰۷ میلی گرم بر کیلوگرم خاک به دست آمد.

در این میان پس از روی بیشترین محدوده تغییرات به ترتیب مربوط به نیکل، سرب و کروم است. آزمون نرمال بودن به روش کلموگرف- اسمیرنوف (جدول ۳) نشان داد، تمامی عناصر سطح معناداری بیش از ۵ درصد دارد لذا، توزیع داده ها نرمال است.

آزمون حد کفاایت تعداد نمونه مطابق جدول ۳ انجام شد. نتایج نشان می دهد با در نظر گرفتن خطای ۵-۱۵ درصد در نمونه برداری حد کفاایت تعداد نمونه رعایت شده است. مقدار خطای برای کروم، نیکل، سرب،

جدول ۲. غلظت عناصر اندازه گیری شده در ۲۵ نقطه نمونه برداری (میلی گرم بر کیلوگرم)

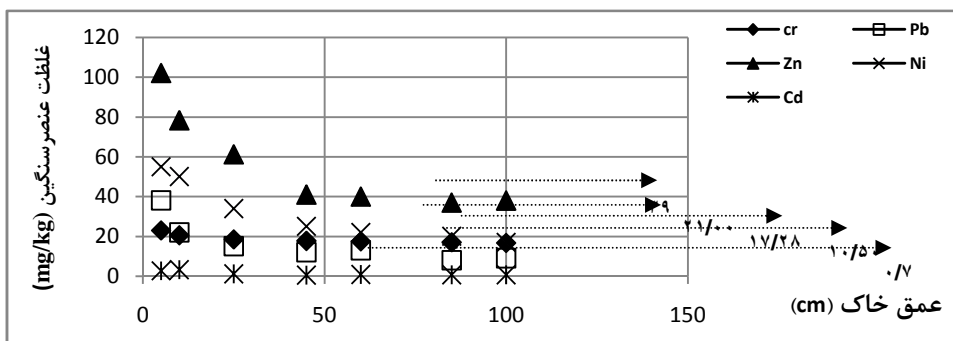
نقاط	Cd mg/kg	Ni mg/kg	Zn mg/kg	Pb mg/kg	Cr mg/kg
۱	۰/۹۱	۳۸/۶۳	۴۹/۹۶	۱۸/۰۷	۱۸/۳۹
۲	۰/۶۱	۳۸/۷	۸۰/۲۳	۴۱/۴۳	۱۶/۷۶
۳	۰/۷۵	۵۷/۳۶	۸۶/۴۹	۱۸/۲۹	۲۴/۹۳
۴	۳/۳	۵۰/۰۹	۱۳۳/۱۵	۳۹/۰۳	۲۰/۶
۵	۳/۳۲	۳۴/۶	۷۸/۲۶	۳۲/۶۷	۱۷/۵۱
۶	۳/۳۳	۴۲/۸۳	۵۸/۵۳	۲۴/۷۶	۱۹/۲۳
۷	۳/۳۲	۴۳/۱۶	۴۸/۰۶	۱۸/۶۲	۲۰/۲۵
۸	۲/۱۱	۱۹/۳۷	۳۹/۷	۹/۶۶	۱۴/۹۴
۹	۲/۶۵	۳۸	۵۰/۶۳	۲۱/۷۳	۱۷/۸۱
۱۰	۲/۶۹	۵۱/۳۳	۶۵/۹۶	۲۲/۰۵	۲۱/۲۲
۱۱	۲/۷۷	۵۲/۵۶	۵۸/۲۶	۱۵/۶۶	۲۱/۶
۱۲	۳/۱۳	۲۹/۹۹	۴۴/۰۳	۲۸/۷۷	۱۷/۰۸
۱۳	۲/۰۳	۳۶/۲۶	۴۶/۴۶	۱۶/۳۵	۱۶/۷۳
۱۴	۲/۳۷	۴۴/۶۶	۵۶/۰۳	۲۴/۷	۱۶/۹۵
۱۵	۲/۰۳	۴۱/۸۶	۴۸/۳	۱۶/۶	۱۷/۳۹
۱۶	۲/۳۷	۳۸/۸	۴۵/۸۳	۱۸/۵۷	۱۷/۶۲
۱۷	۲/۵۹	۴۹/۸	۶۳/۲۹	۳۱/۹۸	۱۸/۵
۱۸	۲/۳۶	۴۲/۶	۷۵/۱۳	۲۸/۲۸	۱۷/۲۸
۱۹	۱/۲۷	۴۱/۰۳	۶۱/۱۹	۲۴/۹۳	۱۷/۳۴
۲۰	۲/۱۷	۳۷/۷۳	۴۸/۱۶	۲۳/۱۱	۱۷/۷۹
۲۱	۲/۲۱	۳۷/۶۳	۵۱/۳۳	۲۴/۷۸	۱۷/۵۷
۲۲	۲/۲۲	۳۴/۴	۴۵/۶۳	۲۱/۷۲	۱۷/۵
۲۳	۲/۳۵	۳۵/۴۳	۵۴/۸۳	۲۵/۶	۱۸/۱۶
۲۴	۲/۲۸	۲۹/۹۴	۵۰/۶۳	۲۳/۰۹	۱۶/۷۵
۲۵	۲/۴۸	۳۹/۳	۶۱/۰۹	۲۷	۱۹/۲۲



شکل ۲. مقایسه تغییرات غلظت فلزات سنگین خاک اطراف پالایشگاه

جدول ۳. آمار توصیفی مربوط به عناصر اندازه‌گیری شده در خاک محدوده پالایشگاه (میلی‌گرم بر کیلوگرم)

عنصر	سرب (mg/kg)	کادمیوم (mg/kg)	کروم (mg/kg)	نیکل (mg/kg)	روی (mg/kg)
تعداد نمونه	۲۵	۲۵	۲۵	۲۵	۲۵
حداقل	۹/۶۶	۰/۶۱	۱۴/۹۴	۱۹/۳۷	۳۹/۷
حداکثر	۴۱/۴۳	۳/۳۳	۲۴/۹۳	۵۷/۳۶	۱۳۳/۱۵
$\mu \pm stdv$	۲۳/۹ $\pm$ ۷/۲۳	۲/۳ $\pm$ ۰/۷۶	۱۸/۳۶ $\pm$ ۲/۰۶	۴۰/۲۴ $\pm$ ۸/۱۱	۶۰/۰۵ $\pm$ ۱۱/۰۳
K-S سطح معناداری آزمون	۰/۸۱۵(ns)	۰/۲۷۵(ns)	۰/۲۳۸(ns)	۰/۸۶۸(ns)	۰/۲۸۸(ns)
درصد خطای حد کفایت نمونه	۱۵	۱۵	۵	۱۰	۱۵
حد کفایت تعداد نمونه	۱۸	۲۱	۲۲	۱۸	۲۰
مقدار زمینه	۱۰/۵۰	۰/۷۰	۱۷/۲۸	۲۱/۰۰	۳۹/۰۰



شکل ۳. تغییرات غلظت کروم، سرب، روی، نیکل و کادمیوم در نیم رخ خاک همراه با غلظت زمینه عناصر

کلاس‌های پایین‌تری نسبت به  $(PI_i)$  طبقه‌بندی می‌کند. بدین لحاظ کلیه عناصر سنگین مطالعه شده از نظر شاخص آلودگی  $(PI_i)$  دارای یک کلاس بالاتر است. شاخص مثال کروم از نظر شاخص  $(I_{geo})$  در کلاس غیرآلوده قرار دارد در حالی که از نظر  $(PI_i)$  آلودگی این عنصر متوسط است.

نتایج حاصل از محاسبه شاخص تجمع زمینی  $(I_{geo})$ ، شاخص‌های آلودگی  $(PI_i)$  در جدول ۴ نشان داده شده است. در این جدول مقادیر کمترین و بیشترین به همراه محدوده کلاس کیفی شاخص‌های مختلف ارائه شده است. از مقایسه نتایج حاصل از جدول ۴ می‌توان نتیجه‌گیری کرد، شاخص تجمع زمینی، آلودگی را در

جدول ۴. شاخص تجمع زمینی و آلوودگی پنج عنصر سنگین و کلاس کیفی آلوودگی (میلی گرم بر کیلوگرم)

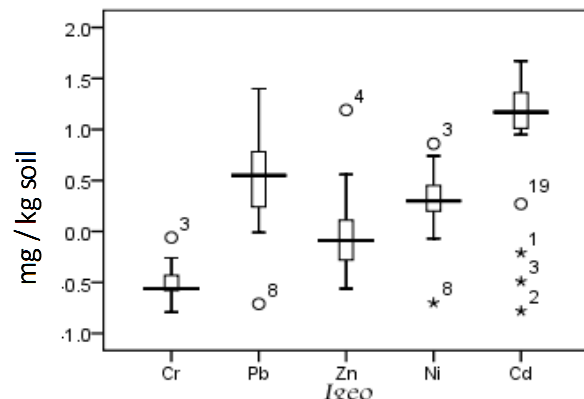
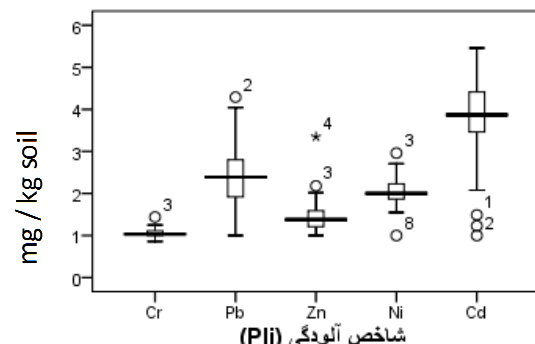
شاخص/عناصر	تعداد	$I_{geo}$	حداکثر	حدوده کلاس	حداکثر	$PI_i$	حدوده کلاس	حدوده کیفی	کیفی	محدوده کلاس
سرب	-	۲۵	۰/۷۱	۰/۷۱	۱/۴۰	۴/۲۹	۱/۰۰	غیرآلووده- متوسط	متوسط تا زیاد	متوسط تا زیاد
کادمیوم	۲۵	۰/۷۸	۰/۷۸	۱/۶۷	۵/۴۶	۱/۰۰	۰/۰۰	غیرآلووده- متوسط	متوسط تا زیاد	متوسط
کروم	۲۵	۰/۷۹	۰/۷۹	۰/۰۶	۱/۴۴	۰/۰۸۶	۰/۸۶	غیرآلووده	متوسط	متوسط
نیکل	۲۵	۰/۷۰	۰/۷۰	۰/۰۸۶	۲/۹۶	۱/۰۰	۰/۰۰	غیرآلووده- غیرآلووده تا متوسط	متوسط	متوسط
روی	۲۵	۰/۰۵۶	-	۱/۱۹	۳/۳۵	۱/۱۱	۰/۱۱	غیرآلووده- متوسط	متوسط تا زیاد	متوسط تا زیاد

مقایسه مقادیر شاخص آلوودگی شکل ۵ با حدود کلاس کیفی آلوودگی (جدول ۱) نشان می‌دهد تنها کروم در محدوده آلوودگی کم قرار دارد و سایر آلاینده‌ها کلاس‌های آلوودگی متوسط تا زیاد دارد. در این میان کادمیوم و سرب عمده‌تر در کلاس آلوودگی زیاد قرار دارد.

مقایسه استقرار ۲۵ نقطه اندازه‌گیری شده در کلاس‌های کیفی دو شاخص تجمع زمینی و آلوودگی پنج عنصر سنگین مطالعه شده در جدول ۵ نشان داده شده است. همان‌گونه که از جدول مشخص است اختلاف زیادی از نظر تقسیم‌بندی و توزیع نقاط بین دو روش وجود دارد. بیشتر نقاطی که از نظر شاخص  $I_{geo}$  در کلاس آلوودگی غیرآلووده یا غیرآلووده- متوسط قرار گرفته است از نظر شاخص  $PI$  در کلاس‌های متوسط یا زیاد استقرار دارد. در صورت برآورد یکسان دو شاخص، ۲۵ نقطه مطالعه شده در خطوط وتری ماتریس جدول (بخش خاکستری) توزیع می‌شد. نتیجه مشخص از جدول ۵ بیان این نکته است که کلاس کیفی برآورد شاخص  $PI$  بیش از کلاس کیفی آلوودگی  $I_{geo}$  است.

همواره بررسی تجمعی آلاینده‌های مختلف در محیط مورد توجه است و اهمیت دارد. بنابراین، با استفاده از دو شاخص تجمعی آلوودگی و درجه آلاینده‌گی اصلاح شده وضعیت کلی محدوده مطالعه شده بررسی شد که نتایج آن در شکل ۶ ارائه شده است. نتایج نشان می‌دهد شاخص  $PI$  با تعداد کلاس کیفی کمتر (کم، متوسط و زیاد) آلوودگی

با انطباق دامنه تغییرات شاخص تجمع زمینی در شکل ۴ و دامنه کلاس‌های کیفی این شاخص در جدول ۱ چنین نتیجه‌گیری می‌شود که کروم با شاخص انباست منفی فاقد آلاینده‌گی در محدوده مطالعه شده است. در حالی که نمونه‌ها از نظر سرب و نیکل در کلاس غیرآلووده تا متوسط و روی در کلاس کیفی حد واسطه غیرآلووده- غیرآلووده تا متوسط قرار دارد.

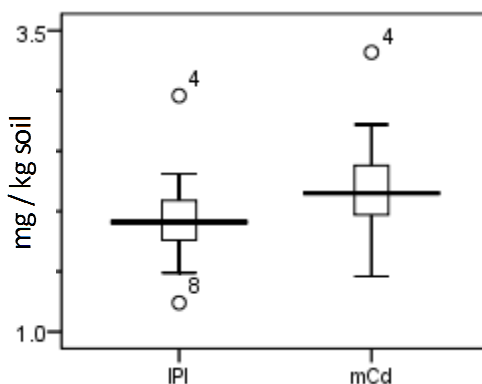
شکل ۴. مقایسه شاخص تجمع زمینی ( $I_{geo}$ )شکل ۵. مقایسه شاخص آلوودگی ( $PI_i$ )

محدوده مطالعه شده در دامنه ۱/۵-۴ قرار دارد که به مفهوم آلودگی کم تا متوسط است.

محدوده مطالعه شده را در دامنه متوسط تا زیاد برآورد می‌کند. این در حالی است که با توجه به شاخص اصلاح شده درجه آلایندگی  $mCd$  کلاس کیفی آلودگی

جدول ۵. نحوه انطباق کلاس‌های کیفی آلودگی دو شاخص تجمع زمینی و آلودگی

عنصر	Igeo	کم-غیرآلوده		متوسط		زیاد		
		PI ↓	غیرآلوده تا متوسط	غیرآلوده	متواتر تا زیاد	متوسط	زیاد تا خیلی زیاد	زیاد
سرب	کم	-	-	-	-	-	-	-
	متوسط	۲۰	-	۱	-	-	-	-
	زیاد	-	-	۴	-	-	-	-
کادمیم	کم	۱	-	-	-	-	-	-
	متوسط	۳	-	-	-	-	-	-
	زیاد	۲	-	۱۹	-	-	-	-
کروم	کم	۸	-	-	-	-	-	-
	متوسط	۱۷	-	-	-	-	-	-
	زیاد	-	-	-	-	-	-	-
نیکل	کم	-	-	-	-	-	-	-
	متوسط	۲۴	-	-	-	-	-	-
	زیاد	-	-	۱	-	-	-	-
روی	کم	۲	-	-	-	-	-	-
	متوسط	۲۲	-	-	-	-	-	-
	زیاد	-	-	۱	-	-	-	-



شکل ۶. مقایسه تغییرات دو شاخص تجمعی آلودگی و درجه آلایندگی

در انتخاب مرز یک برای تفکیک کلاس‌های کم از متوسط در IPI بیان کرد. در صورتی که این مرز به دو ارتقا یابد این دو شاخص در تفکیک کلاس‌های آلودگی با هم اختلافی نخواهند داشت.

همان‌گونه که در جدول ۶ منعکس است اختلاف دو شاخص IPI و  $mCd$  در کلاس‌های کم آلودگی است. این دو شاخص در کلاس‌های متوسط و زیاد انطباق مناسبی دارند. دلیل اختلاف موجود را می‌توان

جدول ۶. انطباق دو شاخص تجمعی و درجه آلیندگی در تفکیک کلاس‌های کیفی

mCd ➡	غیرآلوده- کم کم غیرآلوده	متوسط	زیاد خیلی شدید خیلی زیاد زیاد
IPI ↓			
کم	-	۸	-
متوسط	-	۸	-
زیاد	-	-	۹

در منطقه اطراف پالایشگاه عنصر کادمیوم ( $2/3$ )، سرب ( $23/9$ )، نیکل ( $40/24$ )، روی ( $60/05$ ) و کروم ( $18/36$ ) میلی‌گرم بر کیلوگرم محاسبه شد. این نتایج با نتایج Nadal *et al.*, (2006) مطابقت دارد. PCB's *et al* (2006) در مقاله ارزیابی فلزات سنگین، PAH's و PCB's در خاک‌های مناطق صنعتی، مقدار عناصری همچون سرب و کروم و کادمیوم را در نواحی پتروشیمی ( $37/8$ ،  $21/5$ ،  $21/6$  و  $16/0$ ) و شیمیایی ( $22/2$ ،  $17/5$ ،  $16/0$ ) به دست آوردند.

با توجه به اینکه در مقاله حاضر از شعاع دو کیلومتری اطراف پالایشگاه نمونه‌برداری شده و وجود عناصری همانند کروم و کادمیوم در این فاصله تأیید شده است در مقاله Ahmadi *et al* (2011) که از کف حوضچه تبخیر پالایشگاه نفت تهران نمونه‌برداری شده عناصری همچون کروم و کادمیوم به مقادیر زیاد مشاهده شده است.

در منطقه اطراف پالایشگاه مقدار شاخص  $I_{geo}$  و  $PI_i$  به ترتیب برای کادمیوم؛  $3/5$  و  $0/۰۷۶$ ، سرب؛  $2/37$  و  $0/۰۴۹$ ، نیکل؛  $2/۰۳$  و  $0/۰۴$ ، روی؛  $1/۴۶$  و  $0/۰۳$  و کروم؛  $1/۲۲$  و  $0/۰۲۵$  محاسبه شد. با توجه به اینکه تنها بخشی از منطقه مورد نظر در کنار جاده اصلی است، مقدار شاخص‌ها در مقایسه با اسلام‌آباد پاکستان Faiz *et al* (2009) بیشتر است. مقایسه نتایج شاخص آلودگی ( $I_{geo}$ ) با نتایج ( $PI_i$ )Faiz *et al* (2009) منطقه مطالعه‌شده به جز نیکل بقیه عناصر مطالعه‌شده نظیر کادمیوم، سرب و روی آلودگی بیشتری دارد. دلیل این موضوع را شاید بتوان نشست عناصر و فلزات سنگین را که ناشی از آلودگی هوای منطقه و تردد وسایل نقلیه در بزرگراه حاشیه دانست. همچنین در مقایسه با مقدار شاخص‌های به دست آمده در منطقه Baoji

#### ۴. بحث و نتیجه گیری

در شرق پناهگاه حیات وحش قمیشلو صنایع نفت و بنزین اصفهان وجود دارد. این مجموعه نفتی شامل پالایشگاه، نیروگاه و پتروشیمی است. بهمنظور سنجش آلیندهای موجود در خاک از شعاع  $1/5$  کیلومتری اطراف این مجموعه نفتی،  $25$  نمونه خاک برداشته شد و غلظت پنج فلز سنگین بعد از استخراج عصاره اندازه‌گیری شد. چهارمین نقطه نمونه‌برداری شده که نزدیک قسمت بارگیری این مجموعه نفتی است، آلوده‌ترین نقطه گزارش شد. در این مقاله، ابتدا آمار توصیفی و سپس شاخص‌های آلودگی محاسبه و قدرت تفکیک آن‌ها در بیان آلودگی مقایسه شده است.

بررسی شاخص‌های آلودگی نتایج متفاوتی را از لحاظ آلودگی در منطقه مطالعه‌شده نشان می‌دهد. از نظر شاخص ( $I_{geo}$ ) کادمیوم دارای آلیندگی متوسط، نیکل و سرب در محدوده غیرآلوده تا متوسط و روی در حد فاصل کلاس‌های غیرآلوده تا غیرآلوده- متوسط است. کروم از لحاظ این طبقه‌بندی فاقد آلیندگی محسوب شده است. از نظر شاخص ( $PI_i$ ) کادمیوم دارای آلودگی زیاد، عناصر نیکل، روی و سرب با آلیندگی متوسط و کروم حد فاصل دو کلاس متوسط و کم است.

با توجه به نتایج به دست آمده می‌توان این‌گونه بیان کرد که حمل و نقل مواد نفتی و مشتقات آن در اطراف پالایشگاه و مجموعه‌های صنعتی می‌تواند آلودگی فلزات سنگین را در بافت خاک بالا ببرد. (2012) در مقاله خود بیان کرده است که نشت نفت به بافت خاک می‌تواند اسیدیته و مقدار فلزات سنگین موجود در خاک را بالا ببرد.

زياد انطباق مناسبی دارد لیکن در کلاس کمآلودگی طبقه بندی يکسانی ندارند. در پژوهش حاضر هشت نقطه مطالعه شده از نظر شاخص IPI آلودگی کمی دارد در حالی که همین هشت نقطه از نظر  $mC_d$  در کلاس آلودگی متوسط قرار می گیرد. به عبارتی این دو شاخص، در آلودگی کم برآورد يکسانی از طبقه کیفی آلودگی ندارند. با تغییر مختص در مرزبندی شاخص IPI در محدوده کم و تغییر محدوده شاخص از یک به دو، این شاخص با  $mC_d$  مشابه زیادی در کلاس بندی آلودگی خواهد داشت. امید است تا با انجام مطالعات بیشتر در زمینه آلودگی و رفع آن تا حد امکان از نابودی بیشتر اکوسیستم‌ها و طبیعت ایران زمین جلوگیری شود.

## تقدیر و تشکر

لازم است از زحمات آقای مهندس محسن صادقیان که در امور مربوط به تجزیه نمونه‌ها در آزمایشگاه پیشرفتنه سنجش آلودگی دانشگاه یزد در این پژوهش ما را یاری کردند، مراتب تشکر و سپاس خود را ابراز داریم.

چین (2008) مقدار شاخص  $I_{geo}$  را به جز نیکل در مورد سرب و روی بیشتر از منطقه مطالعه شده گزارش کرده‌اند. May et al. (2011) در مقاله «ارزیابی فلزات سنگین در رسوبات رودخانه شهری در چین» شاخص زمین شیمیایی  $I_{geo}$  برای عناصری همچون روی (1/۶) را بیشتر از منطقه مطالعه شده و سرب (۰/۴۴) را تقریباً یکسان با مشاهدات این پژوهش به دست آوردند.

از آنجا که شاخص‌های مختلفی در تبیین و تعیین مقدار آلودگی محیط زیست تعریف شده است، استفاده از آن‌ها باید با دقت صورت گیرد. این موضوع از آن جهت اهمیت دارد که استفاده از شاخص‌های گمراه‌کننده، سرانجامی جز تصمیم‌گیری‌های نادرست و صرف هزینه و وقت بیهوده ندارد. همان‌گونه که از نتایج مقایسه دو شاخص ( $I_{geo}$ ) و (PI) مشخص است شاخص آلودگی (PI) وضعیت آلودگی را در شرایط یکسان، حداقل یک کلاس بالاتر برآورد می‌کند. توجه به دامنه غلظت آلاینده‌ها و مقایسه آن با حدود مجاز مشخص می‌کند، کلاس آلودگی در منطقه بیشتر با شاخص ( $I_{geo}$ ) هماهنگ است.

دو شاخص  $mC_d$  و IPI در کلاس‌های متوسط و

## REFERENCE

1. Abraham, G., 2005. Holocene sediments of TamakiEstuary: Characterisation and impact of recent human activity on an urban estuary in Auckland, New Zealand. Dissertation, University of Auckland.
2. Ahmadi, S., Sedighian, S., Gitipor, S., 2012. Soil contamination with heavy metals like chromium and cadmium Tehran refinery and remove these metals from soil.The 2<sup>nd</sup> conference on environmental planning and management (EPM) ( In persian).
3. Atashgahi, M., Hamidian. A., Khorasani, N., Aflaki, f., Mohamadnezhad, M., 2011. An investigation on the efficiency of heavy metal removal from wastewater of Bidboland gas refinery using common reed page journal of natural environment, Volume 64, Issue 4, 337-346 ( In persian).
4. AlonsoHernández, C., BernalCastillo, J., BolanosAlvarez, Y., GómezBatista, M., and DiazAsencio, M., 2011. Heavy metal content of bottom ashes from fuel oil powerplant and oil refinery in cuba, journal of fuel 90, 2820–2823.
5. Babatunde, b & tosin, o. Characteristics of soils and heavy metal content of vegetation in oil spill impacted land in Nigeria Proceedings of the Annual International Conference on Soils,sediments, water and energy, 2012.
6. Bihamta, M., Zarechahoki, M., 2010. Statistical principles in the natural sciences. Tehran University Press. 322 p ( In persian ).
7. Faiz, y., Tufail, m., Tayyeb. javed., Chadhurry, m., Siddigu, n., 2009. Road dust pollution of Cd, Cu, Ni, Pb and Zn along Islamabad Expressway Pakistan, Microchemical Journal 92, 186–192.
8. Fontanetti, C., Nogarol, L., de Souza, R., Perez, D., Maziviero, G., 2011. Bioindicators and Biomarkers in the Assessment of Soil Toxicity. In soil Contamination (chapter 8), MSc Simone Pascucci (Ed.), ISBN: 978-953-307-647-8, InTech.

9. Hakanson, L., 1980. An Ecological Risk Index for Aquatic Pollution Control: A Sedimentological Approach. *Water Research*, 14 975–1001 Jafarnejadi, A., Homaei, M., Sayyad, Gh., bybordi, M., 2012. Evaluation of main soil properties affecting Cd concentrations in soil and wheat grains on some calcareous soils of Khuzestan Province.. *j of Water and Soil Conservation*. Volume 19, issue 2. ( In persion).
10. Khairy, M., barakat, A., mostafa, A., wade, T., 2011. multielement determination by flame atomic absorption of road dust samples in delta region Egypt, *microchemical journal* 97, 234-242.
11. Khorasani, N., Hoseini, M., Porbagher, H., Hoseini, V., Aflaki, f., 2013. Determination of Heavy Metal Content in the Tiger-Toothed Croaker (*Otolithes ruber*): A Case Study in Bandar-e Mahshahr Page 181-190 *journal of natural environment*, Volume 66, Issue 2, 181-190 ( In persion).
12. Lu, X., Wang, L., Lei, K., Huan, g.J., Zhai, Y., 2008. contamination assessment of copper, lead, zinc, manganese and nickel in street dust of baoji, nw china, *journal of hazardous materials* 161, 1058 -1062.
13. Mei, J., Li, Zh., Sun, L., Gu, H., 2011. Assessment of heavy metals in the urban river sediments in Suzhou city, northern anhui province, china. *Procedia Environmental Sciences* 10, 2547 – 2553.
14. Muller, G., 1979. Heavy metal Anomalies in Lagoon Sediments related to Intensive Agriculture in Altata- Ensenada del PabelloÂ coastal system (SE Gulf of California), *Environment International* 26 265-273.
15. Nadal, M., Schuhmacher, M., Domingo.L, 2003. Metal pollution of soils and vegetation in an area with an area with petrochemical industry, *Science of the Total Environment* 321 59–69.
16. Nadal, M., Schuhmacher, M., Domingo, L., 2006. Levels of metals, PCBs, PCNs and PAHs in soils of a highly industrialized chemical/petrochemical area: Temporal trend, *chemosphere* 66, 267–276.
17. Skrbic, B., Mladenovic, N., 2010. Chemometric interpretation of heavy metal patterns in soils worldwide, *chemosphere* 80, 1360-1369.
18. Wake, H., 2005. Oil refineries: a review of their ecological impacts on the aquatic environment, *Estuarine, Coastal and Shelf Science* 62, 131–140.
19. Yeung, P., Johnson, R., Xu, JG., 1997. Biodegradation of petroleum hydrocarbons in soil affected by heating and forced aeration. *Environmental Quality* 26, 1511–1516.